

УДК 536.2; 519.6

## ЗАДАЧА О РАСПРЕДЕЛЕНИИ ТЕМПЕРАТУРЫ В ПОЛОМ ЦИЛИНДРЕ ИЗ ФУНКЦИОНАЛЬНО-ГРАДИЕНТНОГО МАТЕРИАЛА, СВОЙСТВА КОТОРОГО ЗАВИСЯТ ОТ ТЕМПЕРАТУРЫ

М. Арефи

Кашанский университет, 87317-51167 Кашан, Иран  
E-mail: arefi63@gmail.com

Решается нелинейная задача о распределении температуры в полом цилиндре в предположении, что свойства материала, из которого он изготовлен, изменяются по толщине цилиндра по степенному закону, а теплопроводность зависит от температуры. Задача сводится к нелинейному дифференциальному уравнению с переменным коэффициентом, для решения которого используется полуаналитический метод последовательных приближений. На основе критерия сходимости бесконечного ряда и критерия малости невязки исследуется сходимость метода при различных значениях параметров задачи. Для моделирования нелинейной зависимости свойств материала цилиндра от температуры использовалась экспоненциальная функция.

**Ключевые слова:** нелинейная задача теплопроводности, зависимость теплопроводности от температуры, функционально-градиентный материал, метод декомпозиции Адомьяна.

**Введение.** В работах [1–12] при решении задач теплопроводности для неоднородных конструкций предполагалось, что свойства материала не зависят от температуры. Это допущение справедливо для некоторых материалов, в случае если диапазон значений температуры невелик. Однако, как следует из экспериментальных данных, теплопроводность ряда материалов, таких как сталь, медь и алюминий, зависит от температуры. Эту зависимость следует учитывать при решении задач о распределении температуры в конструкциях.

Ниже приводится обзор работ, в которых учитывается зависимость свойств материала от температуры при решении задач теплопроводности. В работе [13] зависимость свойств материала от температуры учитывалась при исследовании электрических полей, полупроводников, солнечных фотоэлементов, оптических волокон. В [14] изучалась задача о нагреве полого цилиндра на внешней и (или) внутренней его поверхностях. В [13, 14] для температурного поля применялись преобразования Фурье и Лапласа. В работе [15] учитывались зависимости теплопроводности, теплоемкости и коэффициента температурного расширения от температуры. В [16] зависимость свойств материала от температуры учитывалась при исследовании электрофизических свойств кремниевых детекторов. В [17] изучалось поведение неоднородного цилиндра высокого давления под действием механических и температурных нагрузок в предположении, что свойства материала, из которого он изготовлен, не зависят от температуры. В [3] решена термоупругая задача для случая толстостенного цилиндра, находящегося под действием механических и температурных

---

Работа выполнена при финансовой поддержке Кашанского университета (грант № 363460/02).

нагрузок. В радиальном направлении толстостенный цилиндр представлялся в виде совокупности тонкостенных цилиндров. В [4] с использованием теории оболочек Доннелла решена задача об устойчивости упругого цилиндра, изготовленного из функционально-градиентного материала. Влияние температуры на коэффициент полезного действия термоэлектрического элемента, сваренного с двумя металлическими пластинами, исследовалось в работе [18]. В работах [19, 20] изучалось влияние охлаждения на энергетическую эффективность термоупругого элемента в предположении линейной и нелинейной зависимости свойств материала, из которого он изготовлен, от температуры. Влияние температуры на напряжение холостого хода кристаллических кремниевых солнечных элементов исследовалось в [21]. В работе [22] изучено влияние температуры в диапазоне  $273 \div 523$  К на производительность солнечных элементов.

В данной работе исследуется распределение температуры в полом цилиндре из функционально-градиентного материала с учетом зависимости свойств этого материала от температуры.

**Постановка задачи.** Решается задача о распределении температуры в полом цилиндре, изготовленном из функционально-градиентного материала. Предполагается, что теплофизические свойства материала изменяются вдоль радиуса цилиндра по степенному закону. Принимается также, что теплопроводность зависит от температуры. В цилиндрической системе координат уравнение теплопроводности записывается в виде [5, 17, 23]

$$\frac{1}{r} \frac{d}{dr} \left( rk \frac{dT}{dr} \right) = 0, \quad (1)$$

где  $k$  — теплопроводность;  $T$  — температура;  $r$  — радиальная координата.

Зависимость теплопроводности от пространственной координаты и времени принимается в виде

$$k(T, r) = k(r)k(T),$$

где функции  $k(r)$  и  $k(T)$  имеют следующий вид:

$$k(r) = k_0 r^n, \quad k(T) = k_1 e^{\beta(T-T_0)}.$$

Таким образом,

$$k(r, T) = k_2 r^n e^{\beta(T-T_0)}, \quad (2)$$

где  $k_2 = k_0 k_1$ . С учетом (2) уравнение (1) записывается в следующем виде:

$$\frac{d^2 T}{dr^2} + \frac{1+n}{r} \frac{dT}{dr} + \beta \left( \frac{dT}{dr} \right)^2 = 0. \quad (3)$$

Уравнение (3) является нелинейным дифференциальным уравнением второго порядка.

**Метод решения нелинейной системы дифференциальных уравнений.** Для решения нелинейного дифференциального уравнения используются разложение Адомиана и метод последовательных приближений. Систему нелинейных дифференциальных уравнений запишем в виде [24, 25]

$$L(T) + N(T) + R(T) = g, \quad (4)$$

где  $L$  — главный линейный дифференциальный оператор;  $N$  — нелинейный оператор;  $R$  — часть линейного оператора, оставшаяся после отбрасывания главной части;  $g$  — функция. Уравнение (4) умножим на обратный оператор  $L^{-1}$  [24–26]:

$$L^{-1}[L(T) + N(T) + R(T)] = L^{-1}[g]. \quad (5)$$

Из уравнения (5) для неизвестной функции  $T$  получаем следующее представление [24, 25]:

$$T + L^{-1}N(T) + L^{-1}R(T) = L^{-1}g + c_1 r + c_2. \quad (6)$$

Члены в правой части уравнения (6) определяются из нулевого приближения решения  $T_0$ . Выполняя соответствующие преобразования этого нелинейного уравнения и используя метод последовательных приближений, можно найти следующие приближения решения  $T_p$  ( $p \geq 1$ ) [24, 25]:

$$T_p = -L^{-1}N(T_{p-1}) - L^{-1}R(T_{p-1}) + c_{p1}r + c_{p2}. \quad (7)$$

Член  $c_{p1}r + c_{p2}$  в уравнении (7) содержит константы интегрирования, появляющиеся на каждом шаге построения приближений.

Решение  $T^l$  получается путем суммирования полученных приближений [24, 25]:

$$T^l = T_0 + \sum_{p=1}^l T_p.$$

Число  $l$  определяется критерием сходимости решения. Нулевое приближение  $T_0$  можно найти из линеаризованного уравнения. Константы интегрирования определяются из условия удовлетворения приближения  $T^l$  ( $l \geq 1$ ) однородным краевым условиям задачи.

**Построение решения.** Для дифференциального уравнения (3) операторы  $L$ ,  $R$ ,  $N$  определяются следующим образом:

$$L := \frac{d^2(\cdot)}{dr^2}, \quad R := \frac{1+n}{r} \frac{d(\cdot)}{dr}, \quad N := \beta \left( \frac{d(\cdot)}{dr} \right)^2.$$

На первом шаге находится нулевое приближение как решение линеаризованного уравнения

$$\frac{d^2 T_0}{dr^2} + \frac{1+n}{r} \frac{dT_0}{dr} = 0.$$

Следовательно, в соответствии с [27] получаем

$$T_0 = \frac{C_{01}}{r^n} + C_{02},$$

где  $C_{01}$ ,  $C_{02}$  — константы интегрирования, которые определяются из неоднородных краевых условий задачи

$$T_0|_{r=r_i} = T_i, \quad T_0|_{r=r_o} = T_o.$$

В результате нулевое приближение имеет вид

$$T_0(r) = \frac{T_i r_i^n - T_o r_o^n}{r_i^n - r_o^n} - \frac{T_i - T_o}{-r_i^{-n} + r_o^{-n}} r^{-n}.$$

Затем вычисляется первое приближение:

$$\begin{aligned} T_1 &= 0 - \iint \frac{1+n}{r} \frac{dT_0}{dr} dr dr - \iint \beta \left( \frac{dT_0}{dr} \right)^2 dr dr + C_{11}r + C_{12} = \\ &= - \iint \frac{1+n}{r} \frac{-nC_{01}}{r^{n+1}} dr dr - \iint \beta \left( \frac{-nC_{01}}{r^{n+1}} \right)^2 dr dr + C_{11}r + C_{12}. \end{aligned}$$

Константы  $C_{11}$ ,  $C_{12}$  вычисляются из условия удовлетворения приближения  $T_1$  однородным краевым условиям. Аналогично строятся следующие приближения. Процесс продолжается до тех пор, пока не будут выполнены условия

$$\frac{T^{l+1} - T^l}{T^l} \leq \varepsilon_1, \quad \delta_l = 100 \frac{R^l}{R^0} \leq \varepsilon_2,$$

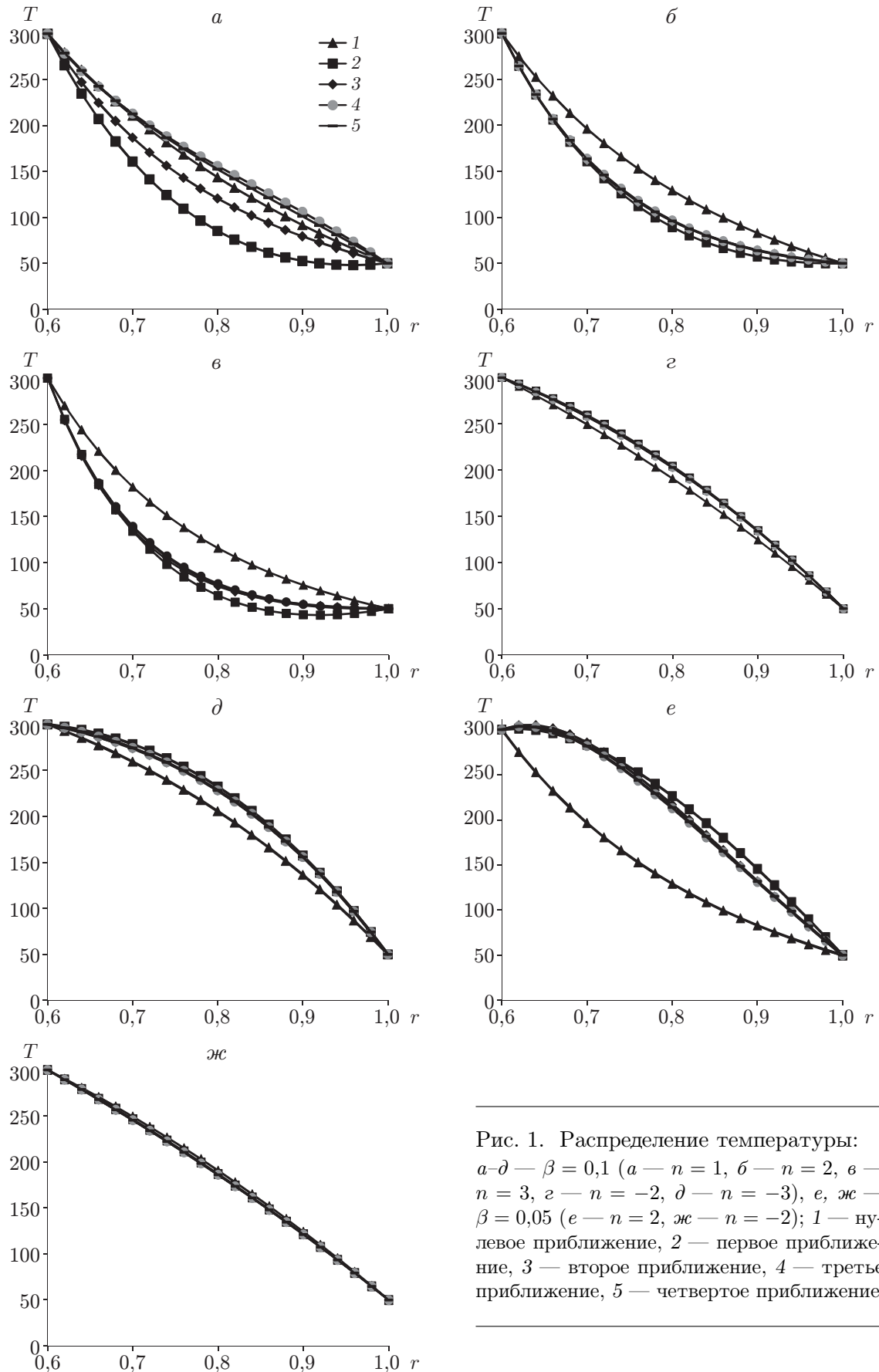


Рис. 1. Распределение температуры:  
*a*–*д* —  $\beta = 0,1$  (*a* —  $n = 1$ , *б* —  $n = 2$ , *в* —  $n = 3$ , *г* —  $n = -2$ , *д* —  $n = -3$ ), *е*, *ж* —  $\beta = 0,05$  (*е* —  $n = 2$ , *ж* —  $n = -2$ ); 1 — нулевое приближение, 2 — первое приближение, 3 — второе приближение, 4 — третье приближение, 5 — четвертое приближение

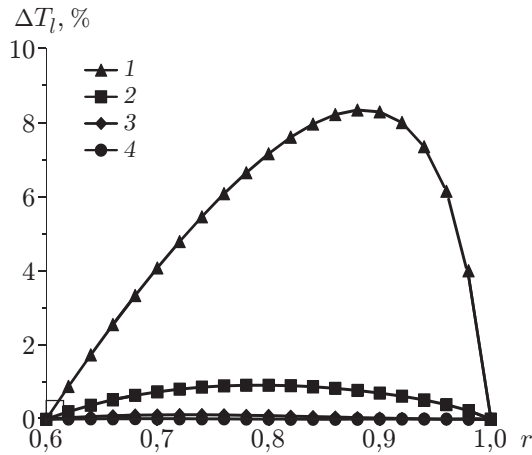


Рис. 2

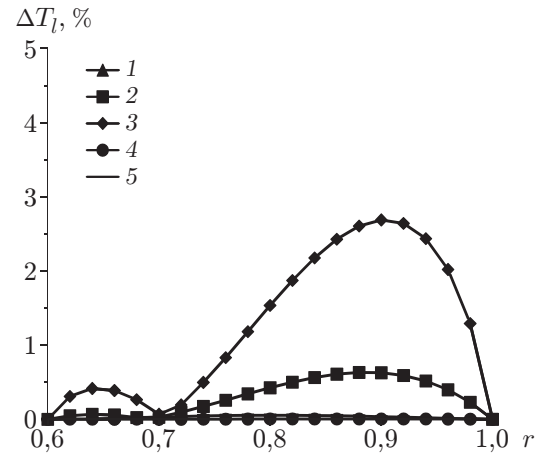


Рис. 3

Рис. 2. Зависимость  $\Delta T_l(r)$  для различных приближений:

1 — нулевое приближение, 2 — первое приближение, 3 — второе приближение, 4 — третье приближение

Рис. 3. Зависимость  $\Delta T_l(r)$  при  $l = 3$  и различных значениях показателя неоднородности материала  $n$ :

1 —  $n = 1$ , 2 —  $n = 2$ , 3 —  $n = 3$ , 4 —  $n = -2$ , 5 —  $n = -3$

где  $R^l = \int_{r_i}^{r_o} (L(T^l) + N(T^l) + R(T^l) - g) dr$  — невязка нелинейного дифференциального уравнения порядка  $l$ ;  $R^0 = \int_{r_i}^{r_o} (L(T_0) + N(T_0) + R(T_0) - g) dr$ ;  $T^l = T_0 + \sum_{p=1}^l T_p$ . Невязки

нормируются делением на  $R^0$ . Итерации заканчиваются, если  $\delta_l \leq 0,01$ .

**Краевые условия.** Построенное решение должно удовлетворять краевым условиям. Для линеаризованного уравнения (нулевого приближения  $T_0$ ) ставятся краевые условия исходной задачи, для следующих приближений  $T_p$  ( $p \geq 1$ ) — однородные краевые условия.

**Результаты исследования и их обсуждение.** Ниже приведены результаты решения нелинейного дифференциального уравнения при различных значениях параметров  $n, \beta$ . На рис. 1 представлены зависимости температуры от радиальной координаты в полем цилиндре из функционально-градиентного материала, соответствующие нулевому, первому, второму, третьему и четвертому приближениям. По этим зависимостям можно судить о скорости сходимости приближения. Относительная разность двух последовательных приближений оценивается величиной

$$\Delta T_l = 100 \left| \frac{T^{l+1} - T^l}{T^l} \right|.$$

На рис. 2 представлены зависимости  $\Delta T_l(r)$  при  $l = 0, 1, 2, 3$ , результаты анализа которых позволяют сделать вывод о быстрой сходимости метода. На рис. 3 приведена зависимость  $\Delta T_l(r)$  при различных значениях показателя степени  $n$ .

На рис. 4 показана зависимость нормированной невязки  $\delta_l$  от номера приближения  $l$  при значениях показателя нелинейности  $\beta = 0,10; 0,05$ .

**Заключение.** В работе исследовано распределение температуры в полем цилиндре из функционально-градиентного материала, теплопроводность которого зависит от температуры. С использованием разложения Адомиана и метода последовательных приближений

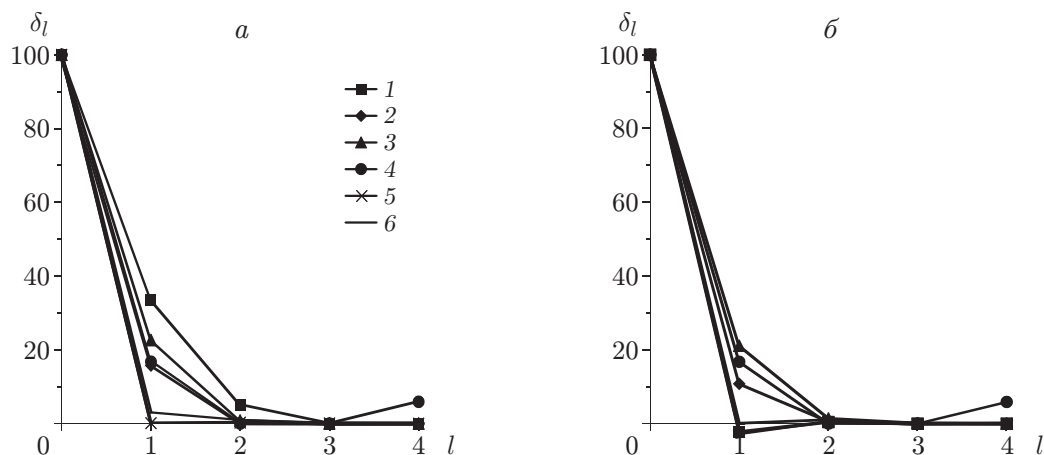


Рис. 4. Нормированная невязка  $\delta_l$  при  $\beta = 0,1$  (а),  $\beta = 0,05$  (б) и различных значениях показателя неоднородности материала  $n$ :

1 —  $n = 1$ , 2 —  $n = 2$ , 3 —  $n = 3$ , 4 —  $n = -1$ , 5 —  $n = -2$ , 6 —  $n = -3$

решено нелинейное дифференциальное уравнение второго порядка задачи. Исследована скорость сходимости метода. Из полученных результатов следует, что для получения решения задачи достаточно трех-четырёх приближений.

#### ЛИТЕРАТУРА

1. **Tutuncu N., Ozturk M.** Exact solution for stresses in functionally graded pressure vessels // Composites. Pt B. Engng. 2001. V. 32. P. 683–686.
2. **Jabbari M., Sohrabpour S., Eslami M. R.** Mechanical and thermal stresses in a functionally graded hollow cylinder due to radially symmetric loads // Intern. J. Pressure Vessels Piping. 2002. V. 79. P. 493–497.
3. **Shao Z. S.** Mechanical and thermal stresses of a functionally graded circular hollow cylinder with finite length // Intern. J. Pressure Vessels Piping. 2005. V. 82. P. 155–163.
4. **Wu L., Zhiqing J., Jun L.** Thermoelastic stability of functionally graded cylindrical shells // Composite Structures. 2005. V. 70. P. 60–68.
5. **Khoshgoftar M. J., Arani A. G., Arefi M.** Thermoelastic analysis of a thick walled cylinder made of functionally graded piezoelectric material // Smart Materials Structures. 2009. V. 18, N 11. P. 115007.
6. **Arefi M., Rahimi G. H.** Non linear analysis of a functionally graded square plate with two smart layers as sensor and actuator under normal pressure // Smart Structures Systems. 2011. V. 8, N 5. P. 433–448.
7. **Arefi M., Rahimi G. H.** Studying the nonlinear behavior of the functionally graded annular plates with piezoelectric layers as a sensor and actuator under normal pressure // Smart Structures Systems. 2012. V. 9, N 2. P. 127–143.
8. **Arefi M., Rahimi G. H.** Three-dimensional multi-field equations of a functionally graded piezoelectric thick shell with variable thickness, curvature and arbitrary nonhomogeneity // Acta Mech. 2012. V. 223. P. 63–79.
9. **Arefi M., Rahimi G. H., Khoshgoftar M. J.** Optimized design of a cylinder under mechanical, magnetic and thermal loads as a sensor or actuator using a functionally graded piezomagnetic material // Intern. J. Phys. Sci. 2011. V. 6, N 27. P. 6315–6322.
10. **Arefi M., Rahimi G. H., Khoshgoftar M. J.** Exact solution of a thick walled functionally graded piezoelectric cylinder under mechanical, thermal and electrical loads in the magnetic field // Smart Structures Systems. 2012. V. 9, N 5. P. 427–439.

11. **Babaei M. H., Chen Z. T.** Exact solutions for radially polarized and magnetized magnetoelectroelastic rotating cylinder // *Smart Materials Structures*. 2008. V. 17. P. 025035.
12. **Babaei M. H., Chen Z. T.** The transient coupled thermopiezoelectric response of a functionally graded piezoelectric hollow cylinder to dynamic loadings // *Proc. Roy. Soc. Ser. A. Math. Phys. Engng Sci.* 2010. V. 466. P. 1077–1091.
13. **Straube W. L., Arthur R. M.** Theoretical estimation of the temperature dependence of backscattered ultrasonic power for noninvasive thermometry // *Ultrasound Med. Biol.* 1994. V. 20, N 9. P. 915–922.
14. **Ootao Y., Tanigawa Y., Fukuda T.** Axisymmetric transient thermal stress analysis of a multilayered composite hollow cylinder // *J. Thermal Stresses*. 1991. V. 14, iss. 2. P. 201–213.
15. **Ketcham R. A., Beam E. C., Kominz M. A.** Effects of temperature-dependent material properties and radioactive heat production on simple basin subsidence models // *Earth Planetary Sci. Lett.* 1995. V. 130, N 1–4. P. 31–44.
16. **Campbell D., Chilingarov A., Sloan T.** Frequency and temperature dependence of the depletion voltage from CV measurements for irradiated Si detectors // *Nuclear Instrum. Methods Phys. Res. Sect. A. Accelerators, Spectrometers, Detectors Associat. Equipment*. 2002. V. 492, N 3. P. 402–410.
17. **Jabbari M., Bahtui A., Eslami M. R.** Axisymmetric mechanical and thermal stresses in thick short length FGM cylinders // *Intern. J. Pressure Vessels Piping*. 2009. V. 86, N 5. P. 296–306.
18. **Yamashita O.** Effect of temperature dependence of electrical resistivity on the cooling performance of a single thermoelectric element // *Appl. Energy*. 2008. V. 85, N 10. P. 1002–1014.
19. **Yamashita O.** Effect of linear and non-linear components in the temperature dependences of thermoelectric properties on the cooling performance // *Appl. Energy*. 2009. V. 86, N 9. P. 1746–1756.
20. **Yamashita O.** Effect of linear and non-linear components in the temperature dependences of thermoelectric properties on the energy conversion efficiency // *Energy Convers. Management*. 2009. V. 50, N 8. P. 1968–1975.
21. **Löper P. D., Richter P. A., Hermle M., et al.** Analysis of the temperature dependence of the open-circuit voltage // *Energy Procedia: Proc. of the 2nd Intern. conf. crystalline silicon photovoltaics*. 2012. V. 27. P. 135–142.
22. **Singh P., Ravindra N. M.** Temperature dependence of solar cell performance — an analysis // *Solar. Energy Materials Solar Cells*. 2012. V. 101. P. 36–45.
23. **Rahimi G. H., Arefi M., Khoshgoftar M. J.** Application and analysis of functionally graded piezoelectrical rotating cylinder as mechanical sensor subjected to pressure and thermal loads // *Appl. Math. Mech.* 2011. V. 32, N 8. P. 997–1008.
24. **Banerjee A., Bhattacharya B., Mallik A. K.** Large deflection of cantilever beams with geometric non-linearity: Analytical and numerical approaches // *Intern. J. Nonlinear Mech.* 2008. V. 43. P. 366–376.
25. **Jiao Y. C., Yamamoto Y., Dang C., Hao Y.** An aftertreatment technique for improving the accuracy of Adomian's decomposition method // *Comput. Math. Appl.* 2002. V. 43, N 6/7. P. 783–798.
26. **Hojjati M. H., Jafari S.** Semi-exact solution of elastic non-uniform thickness and density rotating disks by homotopy perturbation and Adomian's decomposition methods. Pt 1. Elastic solution // *Intern. J. Pressure Vessels Piping*. 2008. V. 85, iss. 12. P. 871–878.
27. **Arefi M., Rahimi G. H.** The effect of nonhomogeneity and end supports on the thermo elastic behavior of a clamped-clamped FG cylinder under mechanical and thermal loads // *Intern. J. Pressure Vessels Piping*. 2012. V. 96/97. P. 30–37.